



Министерство науки и высшего образования Российской Федерации
Федеральное государственное бюджетное образовательное учреждение
высшего образования
«Московский государственный технический университет
имени Н. Э. Баумана
(национальный исследовательский университет)»
(МГТУ им. Н. Э. Баумана)

ФАКУЛЬТЕТ _____ Фундаментальные науки

КАФЕДРА _____ Прикладная математика

КУРСОВАЯ РАБОТА

НА ТЕМУ:

*Решение осредненных по Рейнольдсу
уравнений Навье — Стокса
в одномерной задаче расчета течения в канале*

Студент _____
ФН2-71Б
(Группа)

(Подпись, дата)

В. А. Лосев

(И. О. Фамилия)

Руководитель курсовой рабо-
ты, ассистент каф. ФН-2

(Подпись, дата)

А. Ю. Попов

(И. О. Фамилия)

2023 г.

Оглавление

1. Введение	3
2. Осреднение по Рейнольдсу	3
3. Модель Смагоринского	4
4. Параметры турбулентного течения	6
5. Модель Спаларта — Аллмараса	8
6. Модель $k-\varepsilon$	9
7. Результаты расчетов	10
7.1. Тестовая задача	10
7.2. Численное решение одномерной задачи	12
7.3. Анализ результатов	13
8. Заключение	15
Список использованных источников	15

1. Введение

В гидродинамике турбулентность — это движение жидкости, характеризующееся хаотическими изменениями давления и скорости потока, в отличие от ламинарного потока, который возникает, когда жидкость течет в параллельных слоях, без разрыва между этими слоями. Турбулентные течения распространены необычайно широко — как в природе (дым из трубы, течения рек и др.), так и в технике (течения в насосах, компрессорах, трубопроводах).

Турбулентные течения предъявляют более высокие требования к численным расчетам в силу быстрого изменения различных величин в потоке. Возможно прямое решение системы уравнений гидродинамики для турбулентного случая (Direct numerical simulation, DNS), но для снижения вычислительной нагрузки в практических расчетах часто используются различные модели турбулентности. Существует несколько больших групп подходов: осреднение по Рейнольдсу (Reynolds-averaged Navier-Stokes, RANS), модели рейнольдсовых напряжений, стохастические модели, моделирование крупных вихрей (Large Eddy Simulation, LES).

Данная работа посвящена описанию турбулентных течений путем применения *осреднения по Рейнольдсу* к уравнениям Навье — Стокса на примере решения одномерной задачи о течении вязкой жидкости в канале. Рассматриваются 3 модели различного уровня сложности: алгебраическая (модель Смагоринского), однопараметрическая (Спаларта — Аллмараса), а также двухпараметрическая модель $k - \epsilon$, основной принцип которых заключается в решении проблемы замыкания, о которой будет сказано ниже.

2. Осреднение по Рейнольдсу

Течение вязкой несжимаемой жидкости описывается уравнениями Навье — Стокса и несжимаемости

$$\begin{cases} \rho \left(\frac{\partial \vec{v}}{\partial t} + (\vec{v} \cdot \nabla) \vec{v} \right) = -\nabla p + \mu \Delta \vec{v} + \rho \vec{g}, \\ \nabla \cdot \vec{v} = 0, \end{cases} \quad (1)$$

где \vec{v} — векторное поле скоростей жидкости, м/с; p — поле давления, Па; ρ — плотность жидкости, кг/м³; μ — коэффициент динамической вязкости, Па · с; \vec{g} — векторное поле массовых сил.

При рассмотрении турбулентных течений неизвестные величины можно предста-

вить в виде суммы средних полей и небольших пульсаций относительно них:

$$v_i(\vec{r}, t) = U_i(\vec{r}, t) + u_i(\vec{r}, t), \quad p(\vec{r}, t) = P(\vec{r}, t) + p'(\vec{r}, t). \quad (2)$$

Здесь $i = 1, \dots, d$, где d — размерность задачи. При этом используем следующие правила осреднения:

$$\begin{aligned} \langle v_i \rangle &= U_i, & \langle U_i \rangle &= U_i, & \langle u_i \rangle &= 0, \\ \langle p \rangle &= P, & \langle P \rangle &= P, & \langle p' \rangle &= 0. \end{aligned}$$

Таким образом, в результате осреднения с учетом введенных правил вместо уравнения Навье — Стокса получаем *уравнение Рейнольдса* (в дальнейшем мы не рассматриваем массовые силы)

$$\frac{\partial U_i}{\partial t} + U_j \frac{\partial U_i}{\partial x_j} = -\frac{1}{\rho} \frac{\partial P}{\partial x_i} + \nu \frac{\partial^2 U_i}{\partial x_j \partial x_j} - \frac{\partial \langle u_j u_i \rangle}{\partial x_j}. \quad (3)$$

В уравнении Рейнольдса присутствует тензор пульсаций скоростей (тензор напряжений Рейнольдса) $\tau_{ij} = \langle u_i u_j \rangle$, его компоненты называют рейнольдсовыми напряжениями. Они имеют физический смысл компонент осредненного переноса количества пульсационного движения (импульса) пульсационными скоростями [1].

Тензор напряжений Рейнольдса нельзя выразить из ранее осредненных характеристик. Таким образом, в системе увеличивается количество неизвестных переменных, то есть образуется проблема замыкания. Она заключается в том, что при попытке выразить $\langle u_i u_j \rangle$ с помощью эволюционного уравнения система всегда будет недоопределена.

При моделировании турбулентности, в соответствии с гипотезой Буссинеска о турбулентной вязкости, тензор напряжений Рейнольдса можно представить в виде [2]

$$-\langle u_i u_j \rangle = \nu_t \left(\frac{\partial \langle U_i \rangle}{\partial x_j} + \frac{\partial \langle U_j \rangle}{\partial x_i} \right) - \frac{2}{3} k \delta_{ij},$$

где ν_t — турбулентная вязкость (также называется вихревой вязкостью). В отличие от молекулярной вязкости ν , турбулентная не имеет физического смысла, а является по сути удобной переменной для описания турбулентного течения.

Таким образом, основные модели турбулентности основаны на решении проблемы замыкания путем нахождения турбулентной вязкости ν_t с помощью алгебраических соотношений или дифференциальных уравнений.

3. Модель Смагоринского

Самый простой подход к рассмотрению турбулентных течений состоит в том, чтобы предположить, что турбулентная вязкость и энергия турбулентных пульсаций

$k = \langle u^2/2 \rangle$ для данного течения есть величины постоянные. В этом случае уравнение Рейнольдса (3) принимает следующий вид:

$$\frac{\partial U_i}{\partial t} + U_j \frac{\partial U_i}{\partial x_j} = -\frac{1}{\rho} \frac{\partial P}{\partial x_i} + \frac{\partial}{\partial x_j} \left(\mathbf{v} + \mathbf{v}_t \right) \frac{\partial U_i}{\partial x_j}. \quad (4)$$

Будем рассматривать относительно простой случай течения в канале с единственной ненулевой компонентой поля скоростей $\vec{U} = (u_x, 0)$, которая изменяется только в направлении оси Oy . При этом $\frac{\partial P}{\partial x} = \frac{p_2 - p_1}{l}$, где p_1 и p_2 — давления на входе в канал и выходе из него, соответственно, а l — длина канала.

В стационарном случае уравнение примет вид

$$\frac{1}{\rho} \frac{p_2 - p_1}{l} = \frac{\partial}{\partial y} \left(\mathbf{v} + \mathbf{v}_t \right) \frac{\partial u_x}{\partial y}. \quad (5)$$

Модель Смагоринского является алгебраической. Для решения проблемы замыкания вводится параметр l_m , называемый длиной пути смешения, впервые предложенный Л. Прандтлем. Под длиной пути смешения понимают расстояние, проходимое жидкой частицей поперек потока, прежде чем происходит ее смешение с окружающей жидкостью. Данное предположение применяется обычно к простым потокам, в которых средняя скорость имеет только одну компоненту (пограничные слои, каналы, трубы) [3]. В случае течения в канале имеем следующее соотношение для l_m :

$$l_m = kz, \quad (6)$$

где $k = 0.41$ — константа Кармана, z — расстояние от точки до ближайшей стенки канала. При этом для учета взаимодействия молекулярного и турбулентного переноса импульса в непосредственной близости от стенки была предложена модификация пути смешения за счет введения демпфирующей функции. В таком случае l_m имеет следующий вид:

$$l_m = kz(1 - e^{-y^+/26}).$$

Смысл параметра y^+ будет описан в разделе 4. Для более точного результата следует ограничить максимальную длину пути смешения по правилу $(l_m)_{max} \approx 0.09\delta$, где δ — толщина турбулентного пограничного слоя [4].

Смагоринский предложил выразить вихревую вязкость следующим образом:

$$\mathbf{v}_t = l_m^2 \sqrt{2\bar{S}_{ij}\bar{S}_{ij}}, \quad (7)$$

где $\bar{S}_{ij} = \frac{1}{2} \left(\frac{\partial \langle U_i \rangle}{\partial x_j} + \frac{\partial \langle U_j \rangle}{\partial x_i} \right)$. Поскольку для рассматриваемой задачи $\frac{\partial U_1}{\partial x_1} = \frac{\partial U_2}{\partial x_2} = \frac{\partial U_2}{\partial x_1} = 0$, получаем

$$2\bar{S}_{ij}\bar{S}_{ij} = \left(\frac{\partial U_x}{\partial y} \right)^2.$$

Таким образом,

$$\mathbf{v}_t = l_m^2 \left| \frac{\partial \langle U \rangle}{\partial y} \right|.$$

Для построения разностной схемы интегро-интерполяционным методом проинтегрируем уравнение (5):

$$\int_{x_{j-\frac{1}{2}}}^{x_{j+\frac{1}{2}}} dx \int_{y_{i-\frac{1}{2}}}^{y_{i+\frac{1}{2}}} \frac{\partial}{\partial y} (\mathbf{v} + \mathbf{v}_t) \frac{\partial u_x}{\partial y} dy = \int_{y_{i-\frac{1}{2}}}^{y_{i+\frac{1}{2}}} dy \int_{x_{j-\frac{1}{2}}}^{x_{j+\frac{1}{2}}} \frac{1}{\rho} \frac{\partial p}{\partial x} dx,$$

\Downarrow

$$\Delta x (W_{j+\frac{1}{2}} - W_{j-\frac{1}{2}}) = \Delta y \frac{1}{\rho} \left(p(x_{j+\frac{1}{2}}) - p(x_{j-\frac{1}{2}}) \right),$$

где $W_{i+\frac{1}{2}} = (\mathbf{v} + \mathbf{v}_t) \frac{\partial u_x}{\partial y} \Big|_{y=y_{i+\frac{1}{2}}}$.

Будем искать стационарное решение, решая нестационарную задачу методом счета на установление. В результате получаем

$$\frac{u_i - \tilde{u}_i}{\tau} = \frac{1}{\Delta y} \left(\frac{u_{i+1} - u_i}{\Delta y} (\mathbf{v} + \mathbf{v}_t) \Big|_{y=y_{i+\frac{1}{2}}} - \frac{u_i - u_{i-1}}{\Delta y} (\mathbf{v} + \mathbf{v}_t) \Big|_{y=y_{i-\frac{1}{2}}} \right) - \frac{1}{\rho} \frac{\Delta p}{l}, \quad (8)$$

где $\Delta y = h$ (шаг сетки по пространству), а $(\mathbf{v} + \mathbf{v}_t) \Big|_{y=y_{i+\frac{1}{2}}} = \mathbf{v} + \frac{\mathbf{v}_{ti} + \mathbf{v}_{ti+1}}{2}$, Δp — перепад давления в канале, l — длина канала, \mathbf{v} — кинематическая вязкость среды. Обозначим шаг по времени за τ , а \tilde{u}_i — решение с предыдущего временного слоя. Граничные условия при моделировании течения в канале будут иметь следующий вид: $u_0 = 0$, $u_n = 0$. Данное уравнение будем использовать и в следующих моделях для нахождения поля скоростей.

При решении системы для разностной схемы (8) возникает проблема нелинейности из-за слагаемого $\frac{u_{i+1} - u_i}{h} \left(\frac{\mathbf{v}_{ti} + \mathbf{v}_{ti+1}}{2} + \mathbf{v} \right)$, поскольку величина \mathbf{v}_t также зависит от скорости. Для избавления от нелинейности будем вычислять \mathbf{v}_t , используя значения с предыдущего временного слоя:

$$\mathbf{v}_{ti} = l_{mi}^2 \left| \frac{\tilde{u}_{i+1} - \tilde{u}_{i-1}}{2h} \right|.$$

Далее выполняем решение линейной системы для нахождения вектора \vec{u} . Шаги по времени выполняются до сходимости. В качестве критерия останова можно взять $|\vec{u}^{(n+1)} - \vec{u}^{(n)}| \leq \varepsilon$.

4. Параметры турбулентного течения

Течения в турбулентном режиме характеризуются набором параметров, отражающих интенсивность перемешивания в различных областях. Одним из важных па-

параметров в моделях турбулентности является y^+ — расстояние от стенки канала, нормализованное по масштабу вязкости:

$$y^+ \equiv \frac{u_\tau z}{\nu}. \quad (9)$$

Выпишем отдельно соотношения для u_τ и τ_w . Напряжение сдвига у стенки (wall shear stress) имеет следующий вид:

$$\tau_w \equiv \rho \nu \left(\frac{d\langle U \rangle}{dy} \right) \Big|_{y=0}.$$

Скорость трения (friction velocity) представляется в виде

$$u_\tau \equiv \sqrt{\frac{\tau_w}{\rho}}.$$

Параметр y^+ является безразмерным, он имеет важное оценочное значение. В зависимости от его значения рассматриваемое пространство течения разделяется на подобласти (рисунок 1):

- вязкий подслой ($y^+ < 5$) — сдвиговое напряжение Рейнольдса незначительно по сравнению с вязким напряжением;
- буферный слой ($5 < y^+ < 30$) — переходная область между частями потока, в которых преобладает вязкость, и частями потока, в которых преобладает турбулентность;
- область логарифмического закона ($y^+ > 30$) — область преобладания турбулентности;
- наружный слой ($y^+ > 50$) — область перекрытия между внутренним и внешним слоем (при больших значениях числа Рейнольдса).

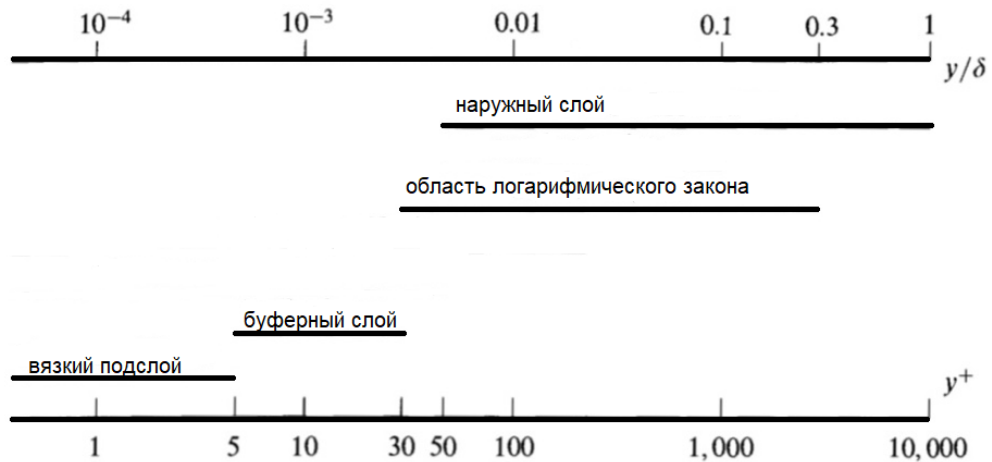


Рис. 1. Разделение области течения в зависимости от y^+

5. Модель Спаларта — Аллмараса

Данная модель является более поздней по сравнению с моделью Смагоринского, относится к классу однопараметрических моделей. Для нахождения турбулентной вязкости \mathbf{v}_t решается одно дополнительное дифференциальное уравнение.

Формула для вычисления турбулентной вязкости имеет следующий вид:

$$\mathbf{v}_t = \tilde{\mathbf{v}} f_{v1}. \quad (10)$$

Для ее вычисления решаем уравнение для $\tilde{\mathbf{v}}$

$$\begin{aligned} \frac{\partial \tilde{\mathbf{v}}}{\partial t} + u_j \frac{\partial \tilde{\mathbf{v}}}{\partial x_j} = \tilde{S} C_{b1} (1 - f_{t2}) \tilde{\mathbf{v}} + \frac{1}{\sigma} \left\{ \frac{\partial}{\partial x_j} \left((\mathbf{v} + \tilde{\mathbf{v}}) \frac{\partial \tilde{\mathbf{v}}}{\partial x_j} \right) + C_{b2} \left(\frac{\partial \tilde{\mathbf{v}}}{\partial x_i} \right)^2 \right\} \\ - \left(C_{w1} f_w - \frac{C_{b1}}{k^2} f_{t2} \right) \left(\frac{\tilde{\mathbf{v}}}{d} \right)^2. \end{aligned} \quad (11)$$

Входящие в данное уравнение величины имеют следующий вид для стандартной модели Спаларта — Аллмараса:

$$\begin{aligned} f_{v1} &= \frac{\chi^3}{\chi^3 + C_{v1}^3}, \quad \chi = \frac{\tilde{\mathbf{v}}}{\mathbf{v}}, \quad \tilde{S} = S + \frac{\tilde{\mathbf{v}}}{k^2 d^2} f_{v2}, \\ f_{v2} &= 1 - \frac{\chi}{1 + \chi f_{v1}}, \quad f_w = g \left[\frac{1 + C_{w3}^6}{g^6 + C_{w3}^6} \right]^{1/6}, \quad g = r + C_{w2}(r^6 - r), \\ r &\equiv \frac{\mathbf{v}}{S k^2 d^2}, \quad f_{t2} = C_{t3} \exp(-C_{t4} \chi^2), \quad S = \sqrt{2 \Omega_{ij} \Omega_{ij}}, \\ \Omega_{ij} &= \frac{1}{2} \left(\frac{\partial U_i}{\partial x_j} - \frac{\partial U_j}{\partial x_i} \right). \end{aligned}$$

Также в уравнение для $\tilde{\mathbf{v}}$ входят следующие константы, полученные эмпирически или методом подгонки:

$$\begin{aligned} \sigma &= \frac{2}{3}, \quad C_{b1} = 0.1355, \quad C_{b2} = 0.622, \quad k = 0.41, \quad C_{w1} = C_{b1}/k^2 + (1 + C_{b2})/\sigma, \\ C_{w2} &= 0.3, \quad C_{w3} = 2, \quad C_{v1} = 7.1, \quad C_{t1} = 1, \quad C_{t2} = 2, \quad C_{t3} = 1.1, \quad C_{t4} = 2. \end{aligned}$$

По предположению Спаларта, для лучших результатов следует принять $C_{t3} = 1.2$, $C_{t4} = 0.5$ [5].

Для стационарного одномерного случая уравнение для $\tilde{\mathbf{v}}$ принимает следующий вид:

$$\tilde{S} C_{b1} (1 - f_{t2}) \tilde{\mathbf{v}} + \frac{1}{\sigma} \left\{ \frac{\partial}{\partial x_j} \left((\mathbf{v} + \tilde{\mathbf{v}}) \frac{\partial \tilde{\mathbf{v}}}{\partial x_j} \right) + C_{b2} \left(\frac{\partial \tilde{\mathbf{v}}}{\partial x_i} \right)^2 \right\} - \left(C_{w1} f_w - \frac{C_{b1}}{k^2} f_{t2} \right) \left(\frac{\tilde{\mathbf{v}}}{d} \right)^2 = 0. \quad (12)$$

При этом функция f_{t2} принимает очень малые значения, поэтому слагаемые с ней можно исключить из уравнения (11). Граничные условия для уравнения (11) имеют вид $\tilde{\mathbf{v}}_0 = 0$, $\tilde{\mathbf{v}}_n = 0$.

Будем искать стационарное решение, решая нестационарную задачу методом счета на установление. Запишем разностную схему для уравнения для $\tilde{\mathbf{v}}$ (уже в линеаризованном относительно последней виде)

$$\frac{\tilde{\mathbf{v}}_i - \check{\tilde{\mathbf{v}}}_i}{\tau} = \tilde{S}C_{b1}(1 - f_{t2})\tilde{\mathbf{v}}_i - \left(C_{w1}f_w - \frac{C_{b1}}{k^2}f_{t2} \right) \left(\frac{\check{\tilde{\mathbf{v}}}_i\tilde{\mathbf{v}}_i}{d^2} \right) + \frac{1}{\sigma} \left(\frac{\tilde{\mathbf{v}}_{i+1} - 2\tilde{\mathbf{v}}_i + \tilde{\mathbf{v}}_{i-1}}{h^2} (\mathbf{v} + \tilde{\mathbf{v}}_i) + (1 + C_{b2}) \left(\frac{\check{\tilde{\mathbf{v}}}_{i+1} - \check{\tilde{\mathbf{v}}}_{i-1}}{2h} \right)^2 \right), \quad (13)$$

где $\tilde{\mathbf{v}}_i$ — значение, которое необходимо найти в результате решения линейной системы, а $\check{\tilde{\mathbf{v}}}_i$ — значения, взятые с прошлого шага по времени. В одномерном случае величину S вычисляем как $\left| \frac{\check{u}_{i+1} - \check{u}_{i-1}}{2h} \right|$, где \check{u}_i — скорость с прошлого временного слоя. Для нахождения поля скоростей решаем уравнение (5), подставляя при этом \mathbf{v}_t , вычисленную по формуле (10).

Разностная схема (13) приводит к линейной системе относительно \mathbf{v} . Процесс счета предполагает решение на каждом шаге по времени уравнений для \mathbf{v} и u с использованием значений с прошлого временного слоя и выполняется до достижения сходимости.

6. Модель k - ϵ

Рассмотрим широко распространенную стандартную k - ϵ -модель турбулентности. Данная модель является двухпараметрической. Такие модели основаны на рассмотрении двух дополнительных турбулентных переменных, в данном случае — кинетической энергии турбулентности k и скорости диссипации энергии ϵ . Турбулентная вязкость выражается через эти две величины следующим образом:

$$\mathbf{v}_t = C_\mu \frac{k^2}{\epsilon}.$$

Уравнения для k и ϵ выглядят следующим образом:

$$\frac{\partial k}{\partial t} + \frac{\partial(kU_i)}{\partial x_i} = \frac{\partial}{\partial x_j} \left[\frac{\mathbf{v}_t}{\sigma_k} \frac{\partial k}{\partial x_j} \right] + P - \epsilon, \quad (14)$$

$$\frac{\partial \epsilon}{\partial t} + \frac{\partial(\epsilon U_i)}{\partial x_i} = \frac{\partial}{\partial x_j} \left[\frac{\mathbf{v}_t}{\sigma_\epsilon} \frac{\partial \epsilon}{\partial x_j} \right] + C_{\epsilon 1} \frac{P\epsilon}{k} - C_{\epsilon 2} \frac{\epsilon^2}{k}. \quad (15)$$

В уравнения входят следующие константы:

$$C_\mu = 0.09, \quad \sigma_k = 1.00, \quad \sigma_\varepsilon = 1.30, \quad C_{\varepsilon 1} = 1.44, \quad C_{\varepsilon 2} = 1.92.$$

Также в уравнения входит величина P , называемая производством кинетической энергии и задаваемая в виде

$$P = -\langle u_i u_j \rangle \frac{\partial U_i}{\partial x_j}.$$

При рассмотрении одномерной задачи

$$P = \nu_t \left(\frac{du_x}{dy} \right)^2.$$

Для нахождения u_x используем уравнение (5).

Запишем разностные схемы для нахождения k и ε . Будем искать стационарные решения, решая нестационарную задачу методом счета на установление:

$$\frac{k_i - \check{k}_i}{\tau} = \frac{k_{i+1} - 2k_i + k_{i-1}}{h^2} \left(\frac{\check{\nu}_i}{\sigma_k} \right) + \frac{k_{i+1} - k_{i-1}}{2h} \frac{\check{\nu}_{i+2} - \check{\nu}_i}{2h} + \frac{\check{\nu}_{i+1}(\check{u}_{i+1} - \check{u}_{i-1})^2}{4h^2} - \check{\varepsilon}_i,$$

$$\frac{\varepsilon_i - \check{\varepsilon}_i}{\tau} = \frac{\varepsilon_{i+1} - 2\varepsilon_i + \varepsilon_{i-1}}{h^2} \left(\frac{\check{\nu}_i}{\sigma_\varepsilon} \right) + \frac{\varepsilon_{i+1} - \varepsilon_{i-1}}{2h\sigma_\varepsilon} \frac{\check{\nu}_{i+1} - \check{\nu}_{i-1}}{2h} + \frac{C_{\varepsilon 1}\varepsilon_i\check{\nu}_i(\check{u}_{i+1} - \check{u}_{i-1})^2}{4h^2\check{k}_i} - \frac{C_{\varepsilon 2}(\check{\varepsilon}_i)^2}{\check{k}_i}.$$

где $\check{\varepsilon}_i, \check{u}_i, \check{\nu}_i, \check{k}_i$ — значения, взятые с предыдущего шага по времени.

Вопрос граничных условий для k и ε нетривиален. Для кинетической энергии турбулентности в литературе имеется консенсус, что на стенках $k = 0$, постановка ГУ для скорости диссипации энергии вызывает больше вопросов. В расчетах ниже используется ГУ 1-го рода $\varepsilon_0 = \varepsilon_n = \text{const} \neq 0$, по аналогии с некоторыми программными пакетами.

Разностные схемы, записанные выше, приводят к линейным системам относительно k и ε . Процесс счета предполагает решение на каждом шаге по времени уравнений для ε , k и u с использованием значений с прошлого временного слоя и выполняется до достижения сходимости.

7. Результаты расчетов

7.1. Тестовая задача

В рамках курсовой работы описанные выше модели реализованы в системе компьютерной алгебры Wolfram Mathematica для решения одномерной задачи о течении вязкой несжимаемой жидкости в канале. Рассматривается тестовая задача со следующими значениями параметров (расчетная область показана на рисунке 2):

- $a = 2$ — ширина канала;
- $L = 10a$ — длина канала;
- $\nu = 0.0025$ — вязкость жидкости;
- $\rho = 1$ — плотность жидкости;
- $\Delta p = -10$ — перепад давления.

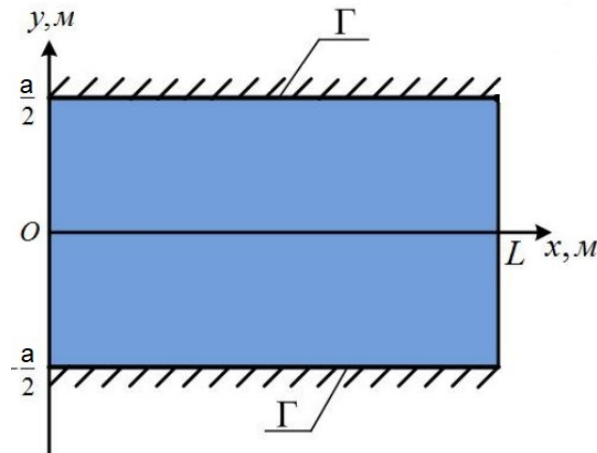


Рис. 2. Расчетная область в тестовой задаче

Выбранные параметры соответствуют числу Рейнольдса $Re = 12000$.

Как первое приближение, построим график скорости течения для ламинарного случая, для сравнения результатов при моделировании турбулентных процессов. Для этого рассмотрим течение Пуазейля — одно из самых простых точных решений уравнений Навье — Стокса. Точное стационарное решение имеет вид

$$v(y) = -\frac{\Delta p}{2\mu l} \left(\left(\frac{a}{2} \right)^2 - y^2 \right). \quad (16)$$

Профиль скоростей для стационарного ламинарного случая представлен на рисунке 3.

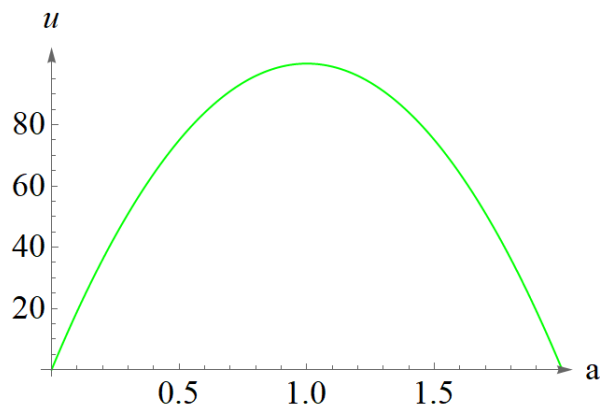


Рис. 3. Профиль скоростей для ламинарного случая

Дополнительно выполнялось сравнение с решением, полученным в свободном пакете OpenFOAM. Отметим, что в нем решалась двумерная задача с теми же параметрами. Использовался решатель `simpleFoam`, выполняющий поиск стационарного решения, и модель турбулентности Спаларта — Аллмараса (по той причине, что она наиболее проста в задании ГУ). Процесс решения сошелся за 427 с. при шаге расчета по времени $\Delta t = 0.1$ с., таким образом, выполнено 4270 шагов по времени. Полученные графики поля скоростей и вязкости (взяты вблизи выхода из канала) приведены на рисунке 4. Стоит отметить, что профиль скоростей существенно отличается от ламинарного случая, как по форме, так и по величине.

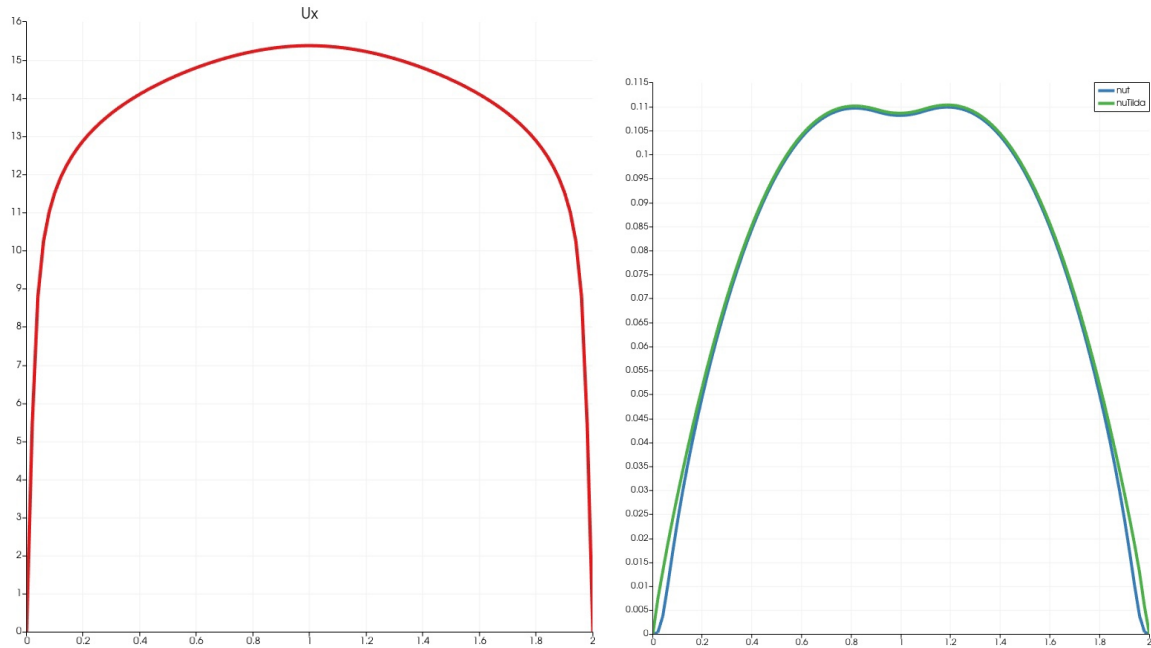


Рис. 4. Профиль поля скоростей, турбулентной вязкости ν_t и величины $\tilde{\nu}$, полученные в OpenFOAM

7.2. Численное решение одномерной задачи

На рисунке 5 приведен график решения, полученный с использованием модели Смагоринского. Данная модель является самой ранней и самой простой из рассмотренных. Несмотря на это, на графике отчетливо видно влияние турбулентности у стенок. Сам профиль значительно отличается от ламинарного. На рисунке 6 показан график значений параметра y^+ в этой модели. В расчете использовались шаги по времени и пространству $\tau = 0.01$ и $h = 0.01$. Выполнялось приблизительно 400 итераций. Максимальное значение скорости в канале $U_{x\max} \approx 16.6256$ м/с.

Для модели Спаларта — Аллмараса использовались те же шаги расчета, при этом потребовалось большее число итераций — около 4000. Однако на качественном

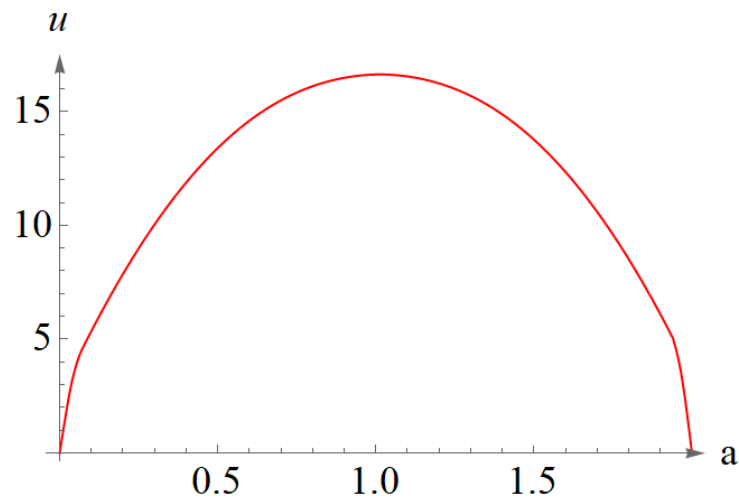
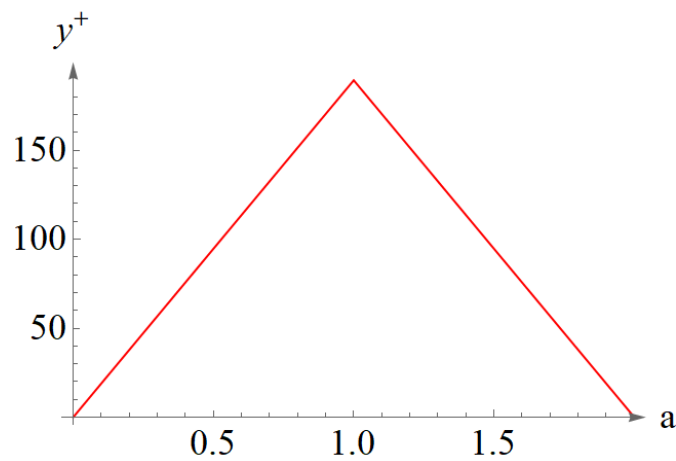


Рис. 5. Профиль скоростей в модели Смагоринского

Рис. 6. y^+ для тестовой задачи

уровне профили скоростей и турбулентной вязкости (рисунки 7 и 8) гораздо лучше согласуются с решением в OpenFOAM. Максимальное значение скорости в канале равно $U_{x\max} \approx 18.253$ м/с.

7.3. Анализ результатов

На основании приведенных выше результатов, полученных в одномерных моделях, реализованных в Wolfram Mathematica, можно сделать вывод, что модель Спаларта — Аллмараса дает, как минимум, качественно корректный результат. Дальнейшего уточнения решения путем измельчения сетки и шага по времени достичь не получается.

Показанные на рисунках 10 и 11 двумерные стационарные распределения поля скоростей и турбулентной вязкости по каналу подталкивают к выводу, что необходимо рассматривать задачу в двумерной постановке без упрощений. Это, в свою

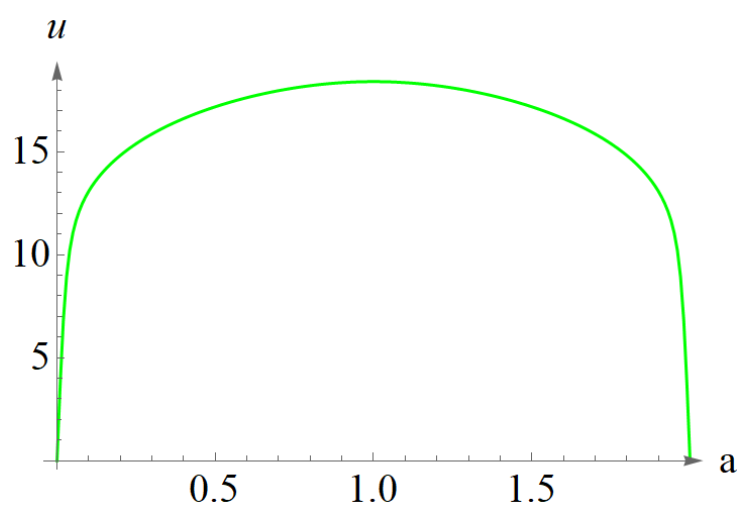
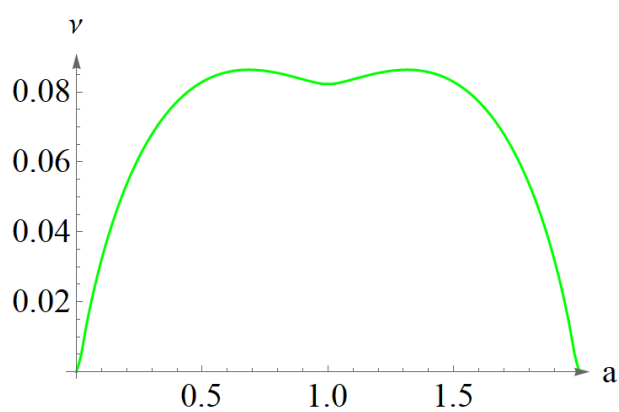
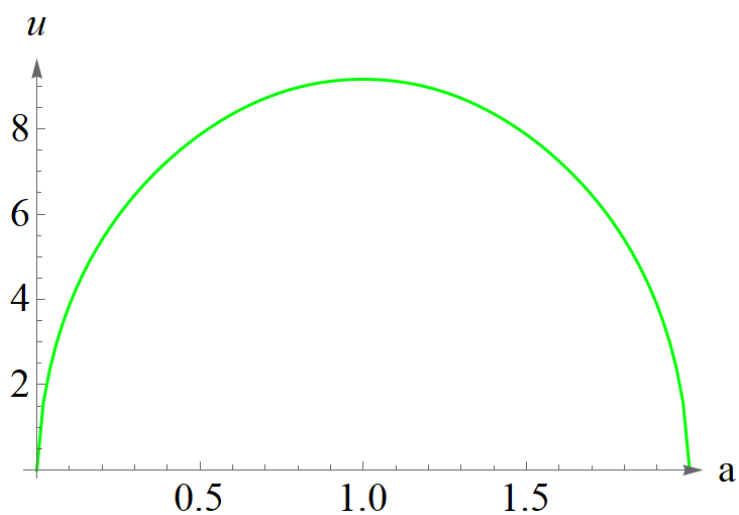


Рис. 7. Профиль скоростей в модели Спаларта — Алммараса

Рис. 8. Профиль турбулентной вязкости ν_t Рис. 9. Профиль скоростей в модели $k-\epsilon$

очередь, потребует более сложной программной реализации.

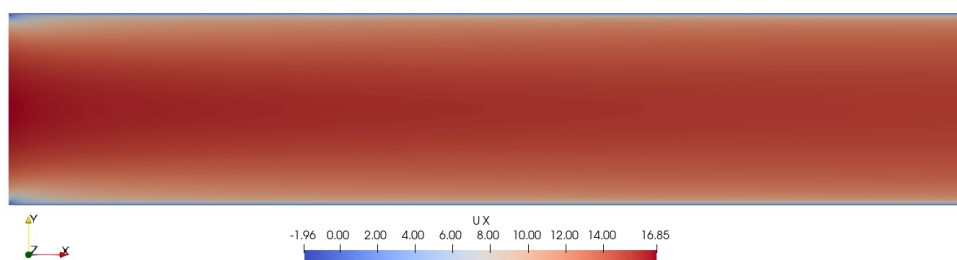


Рис. 10. Стационарное распределение поля скоростей, полученное в OpenFOAM

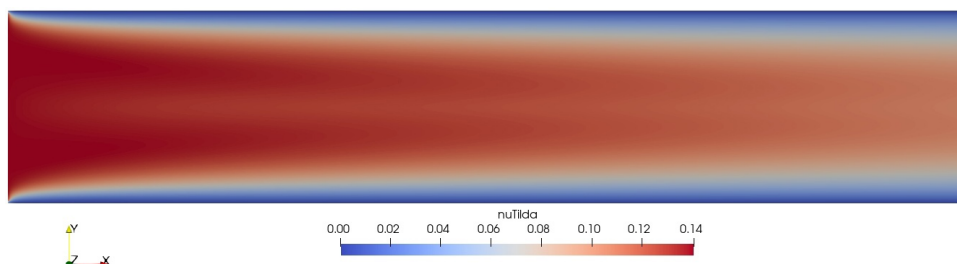


Рис. 11. Стационарное распределение поля турбулентной вязкости, полученное в OpenFOAM

8. Заключение

Таким образом, в рамках данной работы были рассмотрены RANS (Reynolds-averaged Navier — Stokes) модели турбулентности. 3 модели разного типа реализованы в системе компьютерной алгебры Wolfram Mathematica для тестовой задачи. Также рассмотрены основные параметры турбулентного течения, имеющие оценочные значения. Произведенное сравнение полученных результатов с решением двумерной задачи в пакете OpenFOAM свидетельствуют о качественном совпадении результатов (для модели Спаларта — Аллмараса), при этом для достижения количественного сходства целесообразно переходить к двумерной постановке, что выходит за рамки поставленной задачи.

Список использованных источников

1. Лойцянский Л. Г. Механика жидкости и газа. М., Л.: Гос. изд. технико-теоретической литературы, 1950. 676 с.
2. Pope S.B. Turbulent flows. Cambridge University Press, 2000. 749 p.
3. Фрик П.Г. Турбулентность: модели и подходы. Курс лекций. Часть 1. Пермь: Перм.гос. техн. ун-т., 1998. 108 с.
4. Белов И.А., Исаев С.А. Моделирование турбулентных течений. СПб: Балт. гос. техн. ун-т, 2001. 108 с.

-
5. Rumsey C. Turbulence modeling resource. One-equation models: Spalart-Allmaras.
URL: <https://turbmodels.larc.nasa.gov> (Дата обращения: 30.10.2022).